

Starkniederschlagshöhen und -spenden gemäß KOSTRA-DWD-2010R

Auswertungszeitraum von 1951 - 2010, Januar - Dezember

Rasterfeld: 69021

Zeile: 69

Spalte: 21

Seite: 1/2

| Dauerstufe D | Wiederkehrzeit T | | | | | | | | | | | | | | | | | | |
|--------------|------------------|------|------------|------|------------|------|------------|------|------------|------|------------|------|------------|------|------------|------|------------|------|------------|
| | 1 a | | 2 a | | 3 a | | 5 a | | 10 a | | 20 a | | 30 a | | 50 a | | 100 a | | |
| min | Std | mm | l / (s ha) | mm | l / (s ha) | mm | l / (s ha) | mm | l / (s ha) | mm | l / (s ha) | mm | l / (s ha) | mm | l / (s ha) | mm | l / (s ha) | mm | l / (s ha) |
| 5 | | 4,5 | 150,0 | 6,1 | 203,3 | 7,0 | 233,3 | 8,2 | 273,3 | 9,8 | 326,7 | 11,4 | 380,0 | 12,4 | 413,3 | 13,5 | 450,0 | 15,1 | 503,3 |
| 10 | | 7,3 | 121,7 | 9,6 | 160,0 | 10,9 | 181,7 | 12,5 | 208,3 | 14,8 | 246,7 | 17,0 | 283,3 | 18,4 | 306,7 | 20,0 | 333,3 | 22,3 | 371,7 |
| 15 | | 9,2 | 102,2 | 12,0 | 133,3 | 13,6 | 151,1 | 15,6 | 173,3 | 18,4 | 204,4 | 21,1 | 234,4 | 22,7 | 252,2 | 24,7 | 274,4 | 27,5 | 305,6 |
| 20 | | 10,6 | 88,3 | 13,8 | 115,0 | 15,6 | 130,0 | 18,0 | 150,0 | 21,1 | 175,8 | 24,3 | 202,5 | 26,2 | 218,3 | 28,5 | 237,5 | 31,7 | 264,2 |
| 30 | | 12,4 | 68,9 | 16,3 | 90,6 | 18,6 | 103,3 | 21,4 | 118,9 | 25,3 | 140,6 | 29,2 | 162,2 | 31,5 | 175,0 | 34,3 | 190,6 | 38,2 | 212,2 |
| 45 | | 14,1 | 52,2 | 18,8 | 69,6 | 21,6 | 80,0 | 25,1 | 93,0 | 29,8 | 110,4 | 34,6 | 128,1 | 37,4 | 138,5 | 40,8 | 151,1 | 45,6 | 168,9 |
| 60 | | 15,1 | 41,9 | 20,6 | 57,2 | 23,8 | 66,1 | 27,8 | 77,2 | 33,2 | 92,2 | 38,7 | 107,5 | 41,9 | 116,4 | 45,9 | 127,5 | 51,4 | 142,8 |
| 90 | | 16,4 | 30,4 | 22,0 | 40,7 | 25,3 | 46,9 | 29,5 | 54,6 | 35,1 | 65,0 | 40,8 | 75,6 | 44,1 | 81,7 | 48,2 | 89,3 | 53,9 | 99,8 |
| 120 | 2 | 17,4 | 24,2 | 23,1 | 32,1 | 26,5 | 36,8 | 30,8 | 42,8 | 36,6 | 50,8 | 42,3 | 58,8 | 45,7 | 63,5 | 50,0 | 69,4 | 55,7 | 77,4 |
| 180 | 3 | 18,8 | 17,4 | 24,8 | 23,0 | 28,3 | 26,2 | 32,7 | 30,3 | 38,7 | 35,8 | 44,6 | 41,3 | 48,1 | 44,5 | 52,5 | 48,6 | 58,5 | 54,2 |
| 240 | 4 | 20,0 | 13,9 | 26,1 | 18,1 | 29,6 | 20,6 | 34,1 | 23,7 | 40,2 | 27,9 | 46,4 | 32,2 | 49,9 | 34,7 | 54,4 | 37,8 | 60,5 | 42,0 |
| 360 | 6 | 21,6 | 10,0 | 28,0 | 13,0 | 31,7 | 14,7 | 36,3 | 16,8 | 42,6 | 19,7 | 48,9 | 22,6 | 52,6 | 24,4 | 57,3 | 26,5 | 63,6 | 29,4 |
| 540 | 9 | 23,5 | 7,3 | 30,0 | 9,3 | 33,8 | 10,4 | 38,6 | 11,9 | 45,2 | 14,0 | 51,7 | 16,0 | 55,5 | 17,1 | 60,3 | 18,6 | 66,8 | 20,6 |
| 720 | 12 | 24,9 | 5,8 | 31,6 | 7,3 | 35,5 | 8,2 | 40,4 | 9,4 | 47,1 | 10,9 | 53,7 | 12,4 | 57,6 | 13,3 | 62,6 | 14,5 | 69,2 | 16,0 |
| 1080 | 18 | 27,0 | 4,2 | 33,9 | 5,2 | 37,9 | 5,8 | 43,0 | 6,6 | 49,9 | 7,7 | 56,8 | 8,8 | 60,8 | 9,4 | 65,9 | 10,2 | 72,8 | 11,2 |
| 1440 | 24 | 28,6 | 3,3 | 35,7 | 4,1 | 39,8 | 4,6 | 45,0 | 5,2 | 52,0 | 6,0 | 59,1 | 6,8 | 63,2 | 7,3 | 68,4 | 7,9 | 75,5 | 8,7 |
| 2880 | 48 | 33,9 | 2,0 | 42,0 | 2,4 | 46,7 | 2,7 | 52,6 | 3,0 | 60,7 | 3,5 | 68,8 | 4,0 | 73,5 | 4,3 | 79,5 | 4,6 | 87,6 | 5,1 |
| 4320 | 72 | 37,4 | 1,4 | 46,1 | 1,8 | 51,2 | 2,0 | 57,6 | 2,2 | 66,2 | 2,6 | 74,9 | 2,9 | 80,0 | 3,1 | 86,4 | 3,3 | 95,1 | 3,7 |

Angaben in mm: Bemessungsniederschlagswerte h(n)

Angaben in l / (s ha): Regenspende R(n) mit $R(n) = h(n) \times 1,666667 / D[\text{min}]$

Toleranzbereiche:

+/- 10 % für $1 a \leq T \leq 5 a$

+/- 15 % für $5 a < T \leq 50 a$

+/- 20 % für $50 a < T \leq 100 a$

Datenbasis: KOSTRA-DWD-2010R des Deutschen Wetterdienstes. Die Regenspende wurde auf Basis des Bemessungsniederschlags zur jeweiligen Andauer berechnet.

Für die Richtigkeit und Aktualität der Angaben wird keine Gewähr übernommen. Erstellt 07/2022.

Starkniederschlagshöhen und -spenden gemäß KOSTRA-DWD-2010R

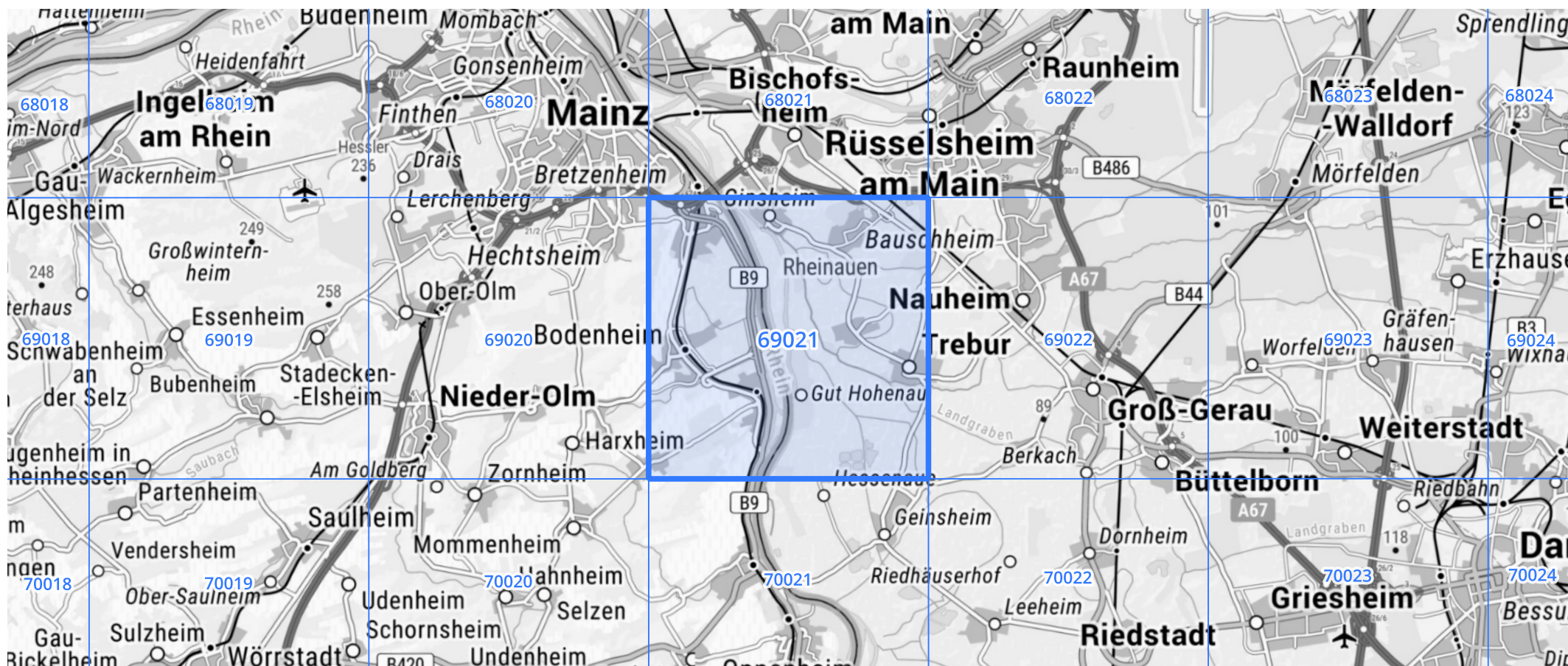
Auswertungszeitraum von 1951 - 2010, Januar - Dezember

Rasterfeld: 69021

Zeile: 69

Spalte: 21

Seite: 2/2



Quelle Rasterdaten: KOSTRA-DWD-2010R des Deutschen Wetterdienstes.

Kartendarstellung: © Bundesamt für Kartographie und Geodäsie (2022), Datenquellen: https://sgx.geodatenzentrum.de/web_public/gdz/datenquellen/Datenquellen_TopPlusOpen.html

Für die Richtigkeit und Aktualität der Angaben wird keine Gewähr übernommen. Erstellt 07/2022.